

Exercício 1

a)

Na Figura 1 temos o fator de estrutura pedido.

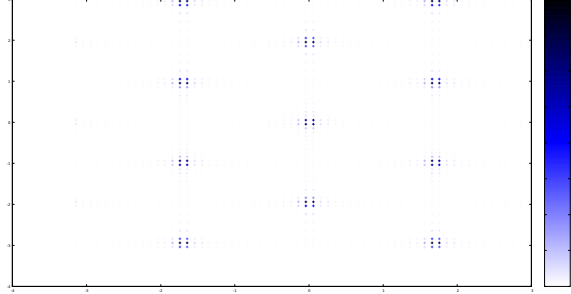


Figura 1: Fator de estrutura.

Exercício 2

a)

Os coeficientes a_n e b_n para a função $f(t) = \begin{cases} -7, & t < t^* \\ +7, & t > t^* \end{cases}$ são:

$$a_0 = \int_{-T/2}^{T/2} f(t) dt = 0 \quad (1)$$

$$a_n = \int_{-T/2}^{T/2} f(t) \cos(t) dt = \int_{-T/2}^0 f(t) \cos(t) dt + \int_0^{T/2} f(t) \cos(t) dt = 0 \quad (2)$$

$$b_n = \int_{-T/2}^{T/2} f(t) \sin(t) dt = \int_{-T/2}^0 f(t) \sin(t) dt + \int_0^{T/2} f(t) \sin(t) dt = 2 \int_0^{T/2} f(t) \sin(t) dt$$

$$b_n = \frac{-28}{T\omega_n} \cos(\omega_n t) \Big|_0^{T/2} = -\frac{14}{\pi n} [\cos(n\pi) - 1] \quad (3)$$

$$\text{Ou } \begin{cases} b_{2n} = 0 \\ b_{2n-1} = \frac{28}{(2n-1)\pi} \end{cases}$$

Na Figura 2 está o gráfico da função $f(t)$ e as funções $f_M(t)$ para diversos M . Como esperado, quanto maior o M mais a função $f_M(t)$ se aproxima da $f(t)$ original. A comparação entre $M = 3$ (vermelho) e $M = 55$ (marrom) demonstra claramente como a adição de mais termos faz com que a aproximação seja muito melhor.

b)

Na Figura 3 foi plotado a função $f_{55}(t)$ para $-4T < t < 4T$. Como esperado, a função $f_{55}(t)$ é periódica, tendo período $T = 2\pi$.

c)

Na Figura 4 temos a função $f(t)$ e as funções $f_M(t)$ para os parâmetros $B = 2$ e $t^* = \pi/2$.

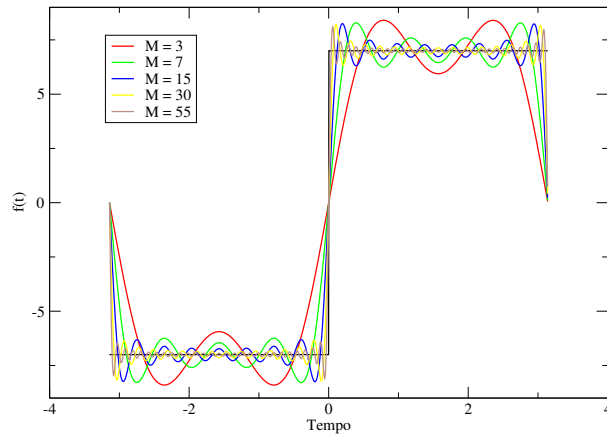


Figura 2: Funções $f_M(t)$ para vários M .

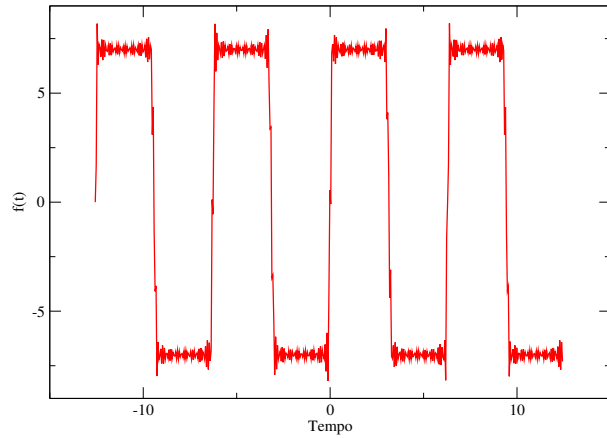


Figura 3: Função $f_{55}(t)$ no intervalo $-4T \leq t \leq 4T$.

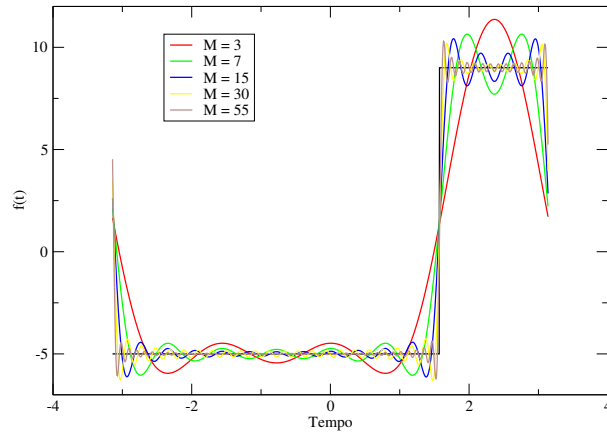


Figura 4: Funções $f_M(t)$ para diversos M com os parâmetros $B = 2$ e $t^* = \pi/2$.

Exercício 3

a)

Na Figura 5 podemos ver a comparação do espectro de potência entre as séries 1 e 2 e entre as séries 3 e 4. As séries 1 e 2 possuem espectros de potência completamente diferentes, apesar da onda resultante ser muito parecida. A série 1 possui contribuições de várias frequências, ao passo que a série 2 possui contribuições somente de poucas frequências. Já as séries 3 e 4 possuem espectros muito semelhantes, apesar da série 3 possuir alguns picos perto de $N = 20$ que a série 4 não possui.

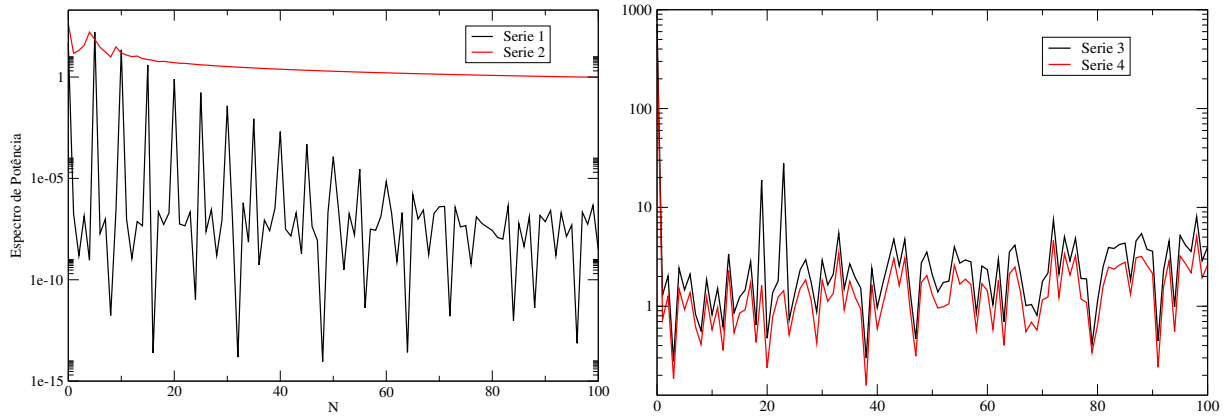


Figura 5: Comparação do espectro de potência entre as séries 1 e 2 (esquerda) e séries 3 e 4 (direita).

b)

A frequência de Nyquist, dada por $f_{nyquist} = \frac{1}{2\Delta}$, é a frequência máxima que pode ser obtida por uma transformada de Fourier. Ela está relacionada ao intervalo Δ entre os pontos experimentais. Um lado positivo é que caso se saiba que um sinal possui um limitante superior de frequência este sinal pode ser reconstruído a partir de um número finito de pontos.

Em nosso caso, temos $\Delta = 3.26 \times 10^{-4}$ para as séries 1 e 2 e $\Delta = 2.44 \times 10^{-3}$ para as séries 3 e 4. Assim, $f_{nyquist} = 1.5 \times 10^3 Hz$ para as séries 1 e 2 e $f_{nyquist} = 2.0 \times 10^2 Hz$ para as séries 3 e 4.

c)

N deve ser uma potência de 2. No nosso caso, $N = 1024 = 2^{10}$. Caso N não cumpra essa exigência a maneira mais fácil de contorná-la é adicionar zeros até que seja cumprida. O algoritmo da referência [2] não foi utilizado devido ao fato do programa enviar para subrotina um vetor de tamanho N e receber na subrotina um vetor de tamanho 1. Por não entender isto, foi utilizado o algoritmo da referência [3], que pode ser visto no programa `fft.f90`.

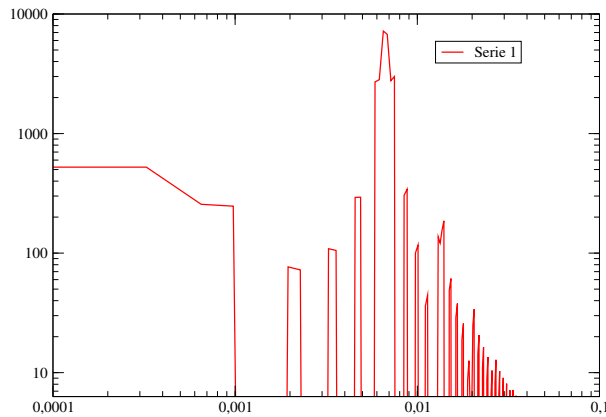


Figura 6: Comparação do espectro de potência entre as séries 1 utilizando o algoritmo descrito em [3].

O espectro obtido claramente não está de acordo com a Figura 5. Como a onda da série 1 parece ser uma onda de frequência constante esse espectro não parece fazer sentido e algum erro deve ter sido feito na implementação do programa.

Exercício 4

Na Figura 7 foi plotado J_k em função de t_k para vermos como é o comportamento qualitativo da função. Como pode ser observado a função parece tender a zero quando t tende a zero e a derivada de J_k claramente tende a zero quando $t \rightarrow \infty$.

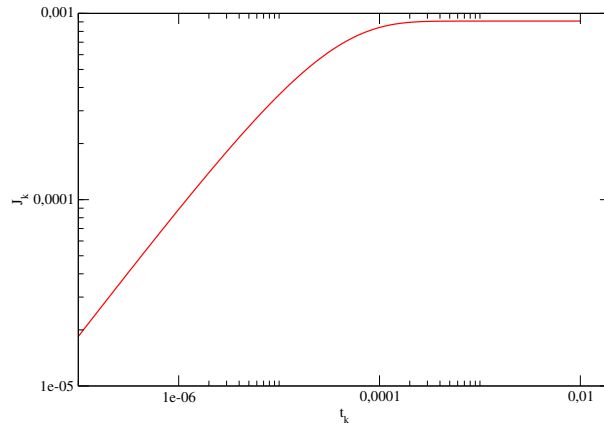


Figura 7: J_k em função de t_k .

a)

Na Figura 8 temos o comportamento das partes real e imaginária de J . As duas grandezas são negativas, portanto foi necessário multiplica-las por -1 para fazer o gráfico log-log.

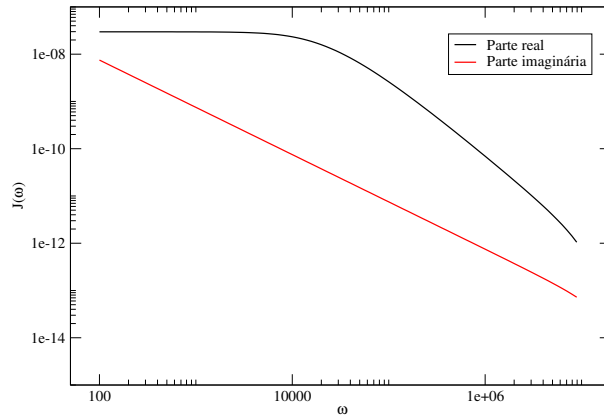


Figura 8: Módulo das partes reais e imaginárias de J .

b)

Na Figura 9 estão representadas as partes real e imaginária da função $G(\omega)$.

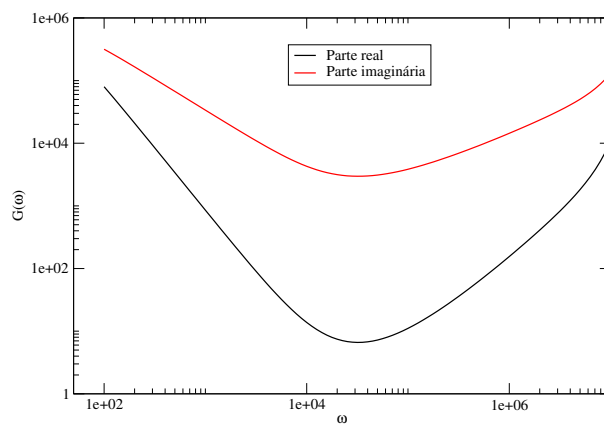


Figura 9: Parte real e imaginária de $G(\omega)$.